

---

# HW8

吴程锴 ckwu1201@163.com

## 一、模型预测控制算法简介

基于模型预测控制（MPC）的无人机轨迹跟踪是现代控制理论研究中的一个重点，其原理是：在当前时刻，通过被控对象的状态方程、输出方程和控制输入预测出系统未来的输出，优化控制输入使得输出与参考输出的误差最小，将得到的最优控制输入的第一个元素作用于被控对象；一直重复该过程，直到跟踪结束。

## 二、无约束模型预测控制

### 2.1 模型

根据四旋翼无人机系统的微分平坦特性，平坦输出

$$\sigma = [x, y, z, \psi]^T \quad (0.1)$$

及其各阶导数能够线性表示无人机位姿、速度、角速度等状态变量和输入变量，其中  $[x, y, z]^T$  为无人机的三维空间坐标， $\psi$  为无人机的偏航角。并且，在这里我们不考虑无人机的姿态，即不考虑偏航角  $\psi$ ，所以我们可以直接控制  $[x, y, z]^T$  使得无人机跟踪参考轨迹。且无人机的三个维度相互独立，可以分开控制。

使用三阶积分器来建立系统模型

$$\begin{cases} \dot{p}_m = v_m \\ \dot{v}_m = a_m \\ \dot{a}_m = j_m \end{cases} \quad (0.2)$$

其中  $[p_m, v_m, a_m, j_m]$  分别为  $m$  轴的位置、速度、加速度和加加速度， $m = x, y, z$ 。系统输入为加加速度

$$u_m = j_m \quad (0.3)$$

### 2.2 预测

采用直接离散化的方式来定义输入的参数空间，设预测时间间隔为  $dt$ ，系统的离散模型为

$$\begin{cases} p_{k+1} = p_k + v_k dt + \frac{1}{2} a_k dt^2 + \frac{1}{6} j_k dt^3 \\ v_{k+1} = v_k + a_k dt + \frac{1}{2} j_k dt^2 \\ a_{k+1} = a_k + j_k dt \end{cases} \quad (0.4)$$

设预测时域和控制时域均为  $N$ ， $k$  时刻预测  $k+1$  到  $k+N$  的系统状态和输入为

$$\begin{cases} P_k = [p_{k+1}, p_{k+2}, \dots, p_{k+N}]^T \\ V_k = [v_{k+1}, v_{k+2}, \dots, v_{k+N}]^T \\ A_k = [a_{k+1}, a_{k+2}, \dots, a_{k+N}]^T \\ J_k = [j_k, j_{k+2}, \dots, j_{k+N-1}]^T \end{cases} \quad (0.5)$$

将(0.4)代入(0.5)，将  $k$  时刻预测的系统状态  $[P_k, V_k, A_k]$  写成输入  $J_k$  的形式

$$\begin{cases} P_k = T_p J_k + B_p \\ V_k = T_v J_k + B_v \\ A_k = T_a J_k + B_a \end{cases} \quad (0.6)$$

## 2.3 控制

优化问题为得到最优的输入  $J_k$ ，使得无人机轨迹与参考轨迹  $P_k^r$  的距离最小，并且，我们希望速度、加速度、加加速度越小越好，让无人机更加省力，则目标函数为

$$\min_{J_k} \omega_1 (P_k - P_k^r)^T (P_k - P_k^r) + \omega_2 V_k^T V_k + \omega_3 A_k^T A_k + \omega_4 J_k^T J_k \quad (0.7)$$

代入(0.6)，则(0.7)等价于

$$\begin{aligned} \min_{J_k} J^T & (\omega_1 T_p^T T_p + \omega_2 T_v^T T_v + \omega_3 T_a^T T_a + \omega_4 I) J \\ & + 2(\omega_1 (B_p - P_k^r)^T T_p + \omega_2 B_v^T T_v + \omega_3 B_a^T T_a) J \end{aligned} \quad (0.8)$$

求解无约束优化问题(0.8)得到最优的输入

$$J_k^* = [j_k^*, j_{k+1}^*, \dots, j_{k+N-1}^*]^T \quad (0.9)$$

将  $j_k^*$  作用到系统，在  $k+1$  时刻重复以上步骤直到跟踪完成。

## 2.4 仿真

设初始状态为

$$\begin{cases} p_0 = 10 \\ v_0 = 0 \\ a_0 = 0 \end{cases} \quad (0.10)$$

想要无人机悬停在 $p=2$ 处。仿真结果如图 1 所示

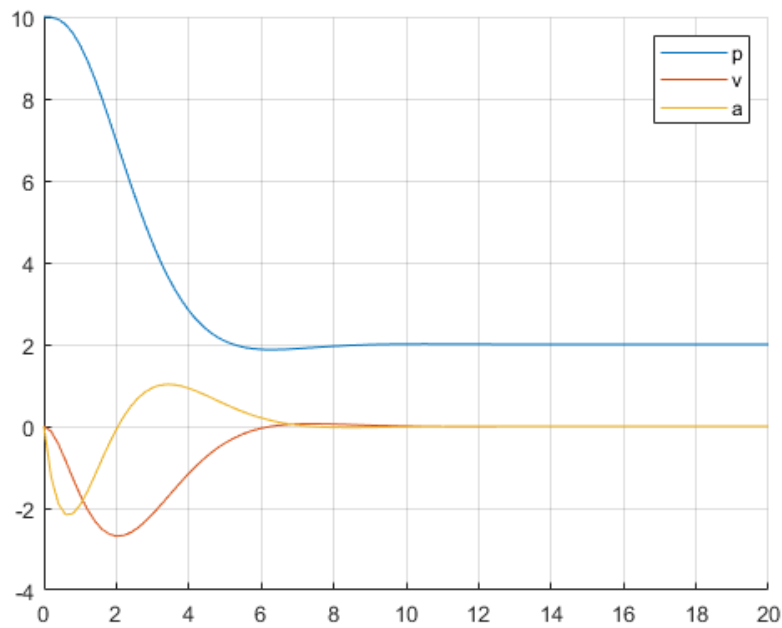


图 1 无约束 MPC

从图 1 可以看出无人机轨迹的超调量很小，且很快收敛到 2。

## 2.5 代码

```
1. clc,clear
2. close all
3. %%
4. p0=10;
5. v0=-2;
6. a0=0;
7. N=20;
8. dt=0.2;
9. log=[0,p0,v0,a0];
10. w1=1;
11. w2=1;
12. w3=1;
13. w4=1;
14. w5=1e4;
15. Pr=ones(N,1)*2;
16. for t=0.2:0.2:20
17.     [Tp,Tv,Ta,Bp,Bv,Ba]=getPredictionMatrix(N,dt,p0,v0,a0);
18.     H=w1*(Tp'*Tp)+w2*(Tv'*Tv)+w3*(Ta'*Ta)+w4*eye(N);
19.     H=blkdiag(H,w5*eye(2*N));
20.     Bp=Bp-Pr;
21.     F=w1*Bp'*Tp+w2*Bv'*Tv+w3*Ba'*Ta;
```

---

```

22.     F=[F,zeros(1,2*N)];
23.     A=[Tv,zeros(N),-eye(N);-Tv,-eye(N),zeros(N);Ta,zeros(N),zeros(N);-
    Ta,zeros(N),zeros(N);zeros(size(Ta)), -
    eye(N),zeros(N);zeros(size(Ta)),zeros(N),-eye(N)];
24.     b=[2*ones(N,1)-Bv;ones(N,1)+Bv;ones(N,1)-
    Ba;ones(N,1)+Ba;zeros(N,1);zeros(N,1)];
25.     J=quadprog(H,F);
26.     j=J(1);
27.     % 模拟系统
28.     p0=p0+v0*dt+0.5*a0*dt^2+1/6*j*dt^3;
29.     v0=v0+a0*dt+0.5*j*dt^2;
30. %     if t==4
31. %         v0=v0+4;
32. %     end
33.     a0=a0+j*dt;
34.     log=[log;t,p0,v0,a0];
35. end
36. figure()
37. hold on
38. grid on
39. plot(log(:,1),log(:,2))
40. plot(log(:,1),log(:,3))
41. plot(log(:,1),log(:,4))
42. legend('p','v','a')
43.
44. function [Tp,Tv,Ta,Bp,Bv,Ba]=getPredictionMatrix(N,dt,p0,v0,a0)
45.
46. Tp=zeros(N);
47. Tv=zeros(N);
48. Ta=zeros(N);
49.
50. for i=1:N
51.     Ta(i,1:i)=ones(1,i)*dt;
52. end
53.
54. for i=1:N
55.     for j=1:i
56.         Tv(i,j)=(i-j+0.5)*dt^2;
57.     end
58. end
59.
60. for i=1:N
61.     for j=1:i
62.         Tp(i,j)=((i-j+1)*(i-j)/2+1/6)*dt^3;
63.     end

```

```

64. end
65.
66. Bp=ones(N,1)*p0;
67. Bv=ones(N,1)*v0;
68. Ba=ones(N,1)*a0;
69.
70. for i=1:N
71.     Bp(i)=Bp(i)+i*dt*v0+i^2/2*a0*dt^2;
72.     Bv(i)=Bv(i)+i*dt*a0;
73. end

```

### 三、有约束模型预测控制

物理上，无人机有最大速度、加速度等，所以，我们需要给系统加上约束。约束又分为软约束和硬约束，其中软约束往往约束系统的状态，如速度、加速度等，硬约束往往约束系统的输入。这是由于系统的状态可能受到外界干扰，导致系统状态初值超出约束范围，如果将系统状态作为硬约束，则优化问题将无解；而系统的输入往往是人工给定的，如果给定的输入过大会导致系统损坏，所以要将输入约束设定为硬约束。

#### 3.1 硬约束

$$J_{\min} \leq J_k \leq J_{\max} \quad (1.1)$$

#### 3.2 软约束

一种将硬约束转化为软约束的方法是加入辅助变量  $L$ ，输入变量变为

$$J' = \begin{bmatrix} J \\ L \end{bmatrix} \quad (1.2)$$

这里以速度约束为例进行讲解

$$V_{\min} \leq V_k = T_v J_k + B_v \leq V_{\max} \quad (1.3)$$

$$\min \omega_5 L^T L$$

$$\begin{cases} T_v J_k \leq V_{\max} - B_v + L \\ -T_v J_k \leq B_v - V_{\min} + L \\ -L \leq 0 \end{cases} \quad (1.4)$$

当  $\omega_5 = \inf$ ，(1.3)等价于(1.4)。

### 3.3 仿真

设初始状态为

$$\begin{cases} p_0 = 10 \\ v_0 = -2 \\ a_0 = 0 \end{cases} \quad (1.5)$$

约束为

$$\begin{cases} -1 \leq v_k \leq 1 \\ -1 \leq a_k \leq 1, \forall k \\ -1 \leq j_k \leq 1 \end{cases} \quad (1.6)$$

想要无人机悬停在 $p = 2$ 处。仿真结果如图 2 所示。

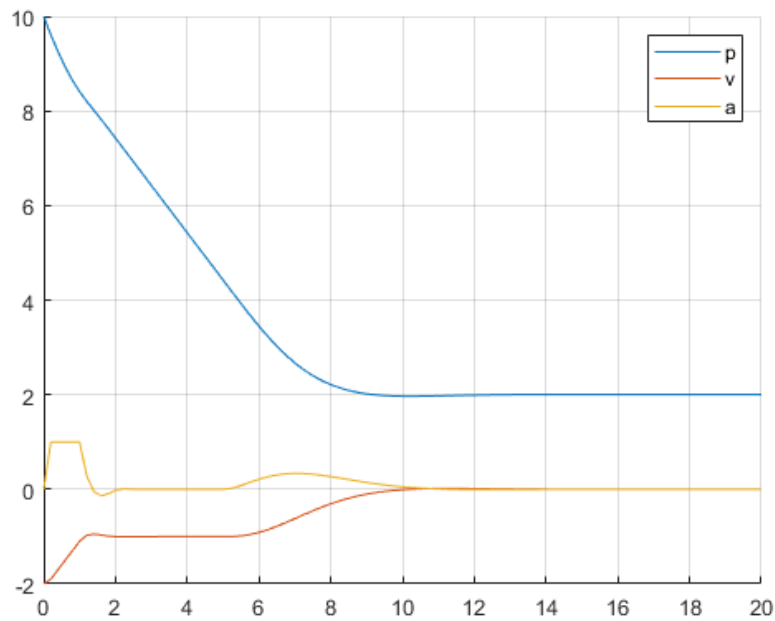


图 2 有约束 MPC

从图 2 可以看出无人机的速度一开始超出了约束，控制器优先将速度控制到约束范围内。

### 3.4 代码

```
1. clc,clear
2. close all
3. %%
4. p0=10;
5. v0=-2;
6. a0=0;
```

```

7. N=20;
8. dt=0.2;
9. log=[0,p0,v0,a0];
10. w1=1;
11. w2=1;
12. w3=1;
13. w4=1;
14. w5=1e4;
15. Pr=ones(N,1)*2;
16. for t=0.2:0.2:20
17.     [Tp,Tv,Ta,Bp,Bv,Ba]=getPredictionMatrix(N,dt,p0,v0,a0);
18.     H=w1*(Tp'*Tp)+w2*(Tv'*Tv)+w3*(Ta'*Ta)+w4*eye(N);
19.     H=blkdiag(H,w5*eye(2*N));
20.     Bp=Bp-Pr;
21.     F=w1*Bp'*Tp+w2*Bv'*Tv+w3*Ba'*Ta;
22.     F=[F,zeros(1,2*N)];
23.     A=[Tv,zeros(N),-eye(N);-Tv,-eye(N),zeros(N);Ta,zeros(N),zeros(N);-
        Ta,zeros(N),zeros(N);zeros(size(Ta)),-
        eye(N),zeros(N);zeros(size(Ta)),zeros(N),-eye(N)];
24.     b=[2*ones(N,1)-Bv;ones(N,1)+Bv;ones(N,1)-
        Ba;ones(N,1)+Ba;zeros(N,1);zeros(N,1)];
25.     J=quadprog(H,F,A,b);
26.     j=J(1);
27.     % 模拟系统
28.     p0=p0+v0*dt+0.5*a0*dt^2+1/6*j*dt^3;
29.     v0=v0+a0*dt+0.5*j*dt^2;
30. %     if t==4
31. %         v0=v0+4;
32. %     end
33.     a0=a0+j*dt;
34.     log=[log;t,p0,v0,a0];
35. end
36. figure()
37. hold on
38. grid on
39. plot(log(:,1),log(:,2))
40. plot(log(:,1),log(:,3))
41. plot(log(:,1),log(:,4))
42. legend('p','v','a')
43.
44. function [Tp,Tv,Ta,Bp,Bv,Ba]=getPredictionMatrix(N,dt,p0,v0,a0)
45.
46. Tp=zeros(N);
47. Tv=zeros(N);
48. Ta=zeros(N);

```

```

49.
50. for i=1:N
51.     Ta(i,1:i)=ones(1,i)*dt;
52. end
53.
54. for i=1:N
55.     for j=1:i
56.         Tv(i,j)=(i-j+0.5)*dt^2;
57.     end
58. end
59.
60. for i=1:N
61.     for j=1:i
62.         Tp(i,j)=((i-j+1)*(i-j)/2+1/6)*dt^3;
63.     end
64. end
65.
66. Bp=ones(N,1)*p0;
67. Bv=ones(N,1)*v0;
68. Ba=ones(N,1)*a0;
69.
70. for i=1:N
71.     Bp(i)=Bp(i)+i*dt*v0+i^2/2*a0*dt^2;
72.     Bv(i)=Bv(i)+i*dt*a0;
73. end

```

## 四、无人机轨迹跟踪

### 4.1 仿真

最后，将控制器扩展到三维空间，要求无人机跟随的轨迹如图 3 所示



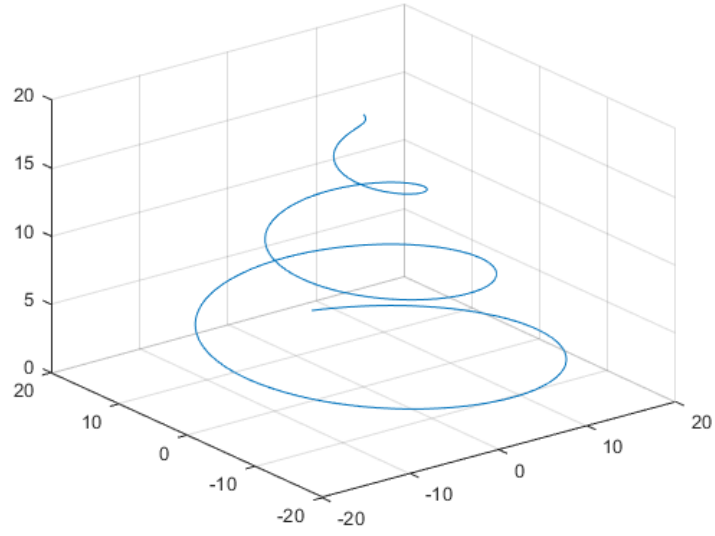


图 3 参考轨迹

轨迹的角速度为  $w = 0.1 \text{ rad/s}$ ， $z$  轴速度为  $v_z = -0.1 \text{ m/s}$

约束为

$$\begin{aligned}
 -6 &\leq v_{x,y} \leq 6 \\
 -1 &\leq v_z \leq 6 \\
 -3 &\leq a_{x,y} \leq 3 \\
 -1 &\leq a_z \leq 3 \\
 -3 &\leq j_{x,y} \leq 3 \\
 -2 &\leq j_z \leq 2
 \end{aligned} \tag{2.1}$$

设定无人机初始状态为

$$\begin{cases} p_0 = [0, 0, H] \\ v_0 = [10, 0, 0] \\ a_0 = [0, 0, 0] \end{cases} \tag{2.2}$$

其中  $p_0$  为参考轨迹的初始位置。仿真结果如图 4 和图 5 所示。

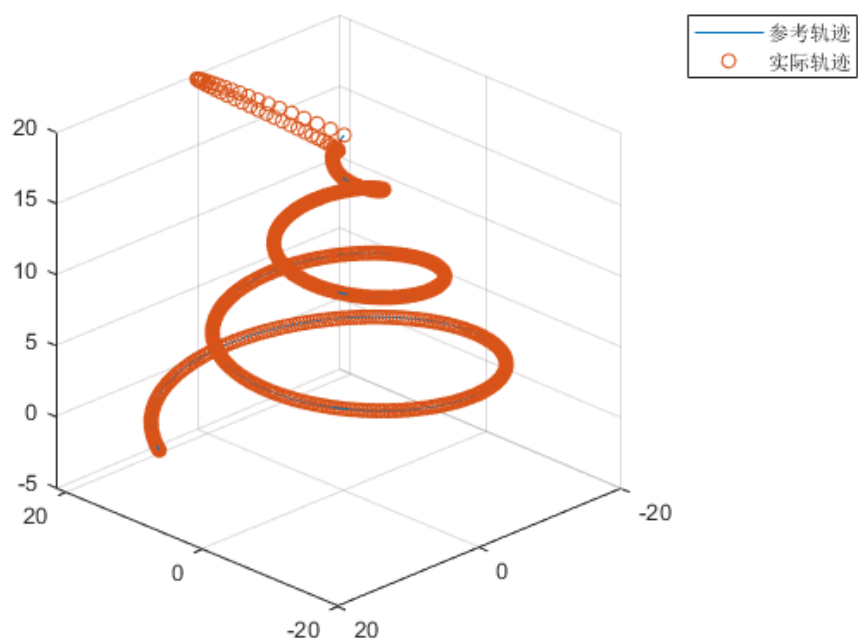


图 4 跟踪结果

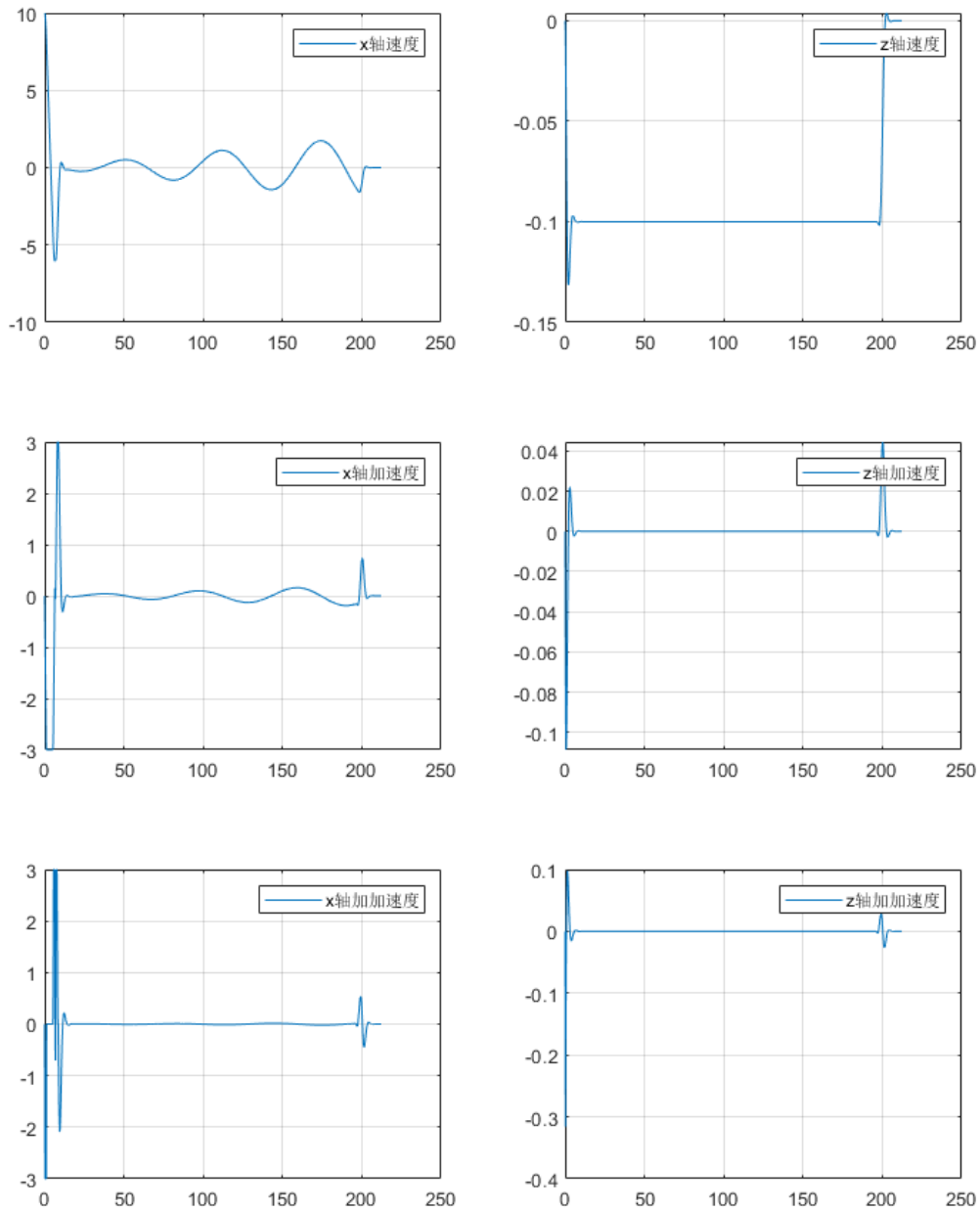


图 5 无人机数据

从结果中可以看出，即使初始速度非常糟糕，控制器也能够将无人机很快地拉到参考轨迹上，且没有出现无解的情况。

## 4.2 代码

```
1. clc,clear
2. close all
3. %%
4. dt=0.2;
5. N=20;
6. H=20;
7. R=20;
8. V=-0.1;
```

---

```

9. W=0.1;
10. path=getPath(dt,H,R,V,W);
11. figure()
12. plot3(path(:,1),path(:,2),path(:,3))
13. grid on
14.
15. p0=[0,0,H];
16. v0=[10,0,0];
17. a0=[0,0,0];
18. j=[0,0,0];
19.
20. v_bound=[-6,6;-6,6;-1,6];
21. a_bound=[-3,3;-3,3;-1,3];
22. j_bound=[-3,3;-3,3;-2,2];
23.
24. p_noise=normrnd(0,0.01,size(path,1),3);
25. v_noise=normrnd(0,0.01,size(path,1),3);
26. a_noise=normrnd(0,0.01,size(path,1),3);
27.
28. p_noise=zeros(size(path,1),3);
29. v_noise=zeros(size(path,1),3);
30. a_noise=zeros(size(path,1),3);
31.
32. log=zeros(size(path,1)+1,13);
33. log(1,:)=[0,p0,v0,a0,j];
34. w1=10;
35. w2=1;
36. w3=1;
37. w4=1;
38. w5=1e4;
39.
40. % Pr=path();
41.
42. for i=1:size(path,1)
43.     t=i*dt;
44.     for k=1:3
45.         tic
46.         [Tp,Tv,Ta,Bp,Bv,Ba]=getPredictionMatrix(N,dt,p0(k),v0(k),a0(k));
47.         H=w1*(Tp'*Tp)+w2*(Tv'*Tv)+w3*(Ta'*Ta)+w4*eye(N);
48.         H=blkdiag(H,w5*eye(2*N));
49.         if i<size(path,1)-N+1
50.             Bp=Bp-path(i:i+N-1,k);
51.         else
52.             Bp=Bp-[path(i:end,k);ones(N-size(path,1)+i-1,1)*path(end,k)];
53.         end

```

```

54.         F=w1*Bp'*Tp+w2*Bv'*Tv+w3*Ba'*Ta;
55.         F=[F,zeros(1,2*N)];
56.         A=[Tv,zeros(N),-eye(N);-Tv,-eye(N),zeros(N);Ta,zeros(N),zeros(N);-
            Ta,zeros(N),zeros(N);zeros(size(Ta)),-
            eye(N),zeros(N);zeros(size(Ta)),zeros(N),-eye(N);eye(N),zeros(N),zeros(N);-
            eye(N),zeros(N),zeros(N)];
57.         b=[v_bound(k,2)*ones(N,1)-Bv;-
            v_bound(k,1)*ones(N,1)+Bv;a_bound(k,2)*ones(N,1)-Ba;-
            a_bound(k,1)*ones(N,1)+Ba;zeros(N,1);zeros(N,1);j_bound(k,2)*ones(N,1);-
            j_bound(k,1)*ones(N,1)];
58.         J=quadprog(H,F,A,b);
59.         j(k)=J(1);
60.         % 模拟系统
61.         p0(k)=p0(k)+v0(k)*dt+0.5*a0(k)*dt^2+1/6*j(k)*dt^3+p_noise(i,k);
62.         v0(k)=v0(k)+a0(k)*dt+0.5*j(k)*dt^2+v_noise(i,k);
63.         a0(k)=a0(k)+j(k)*dt+a_noise(i,k);
64.
65. %         toc
66.     end
67.     log(i+1,:)=[t,p0,v0,a0,j];
68. end
69. figure()
70. plot3(path(:,1),path(:,2),path(:,3))
71. hold on
72. grid on
73. plot3(log(:,2),log(:,3),log(:,4),'o')
74. legend('参考轨迹','实际轨迹')
75.
76. figure()
77. grid on
78. subplot(3,2,1)
79. plot(log(:,1),log(:,5))
80. legend('x 轴速度')
81. grid on
82.
83. subplot(3,2,2)
84. plot(log(:,1),log(:,7))
85. legend('z 轴速度')
86. grid on
87.
88. subplot(3,2,3)
89. plot(log(:,1),log(:,8))
90. legend('x 轴加速度')
91. grid on
92.

```

---

```

93. subplot(3,2,4)
94. plot(log(:,1),log(:,10))
95. legend('z 轴加速度')
96. grid on
97.
98. subplot(3,2,5)
99. plot(log(:,1),log(:,11))
100. legend('x 轴加速度')
101. grid on
102.
103. subplot(3,2,6)
104. plot(log(:,1),log(:,13))
105. legend('z 轴加速度')
106. grid on
107.
108. function [Tp,Tv,Ta,Bp,Bv,Ba]=getPredictionMatrix(N,dt,p0,v0,a0)
109. Tp=zeros(N);
110. Tv=zeros(N);
111. Ta=zeros(N);
112. for i=1:N
113.     Ta(i,1:i)=ones(1,i)*dt;
114. end
115. for i=1:N
116.     for j=1:i
117.         Tv(i,j)=(i-j+0.5)*dt^2;
118.     end
119. end
120. for i=1:N
121.     for j=1:i
122.         Tp(i,j)=((i-j+1)*(i-j)/2+1/6)*dt^3;
123.     end
124. end
125. Bp=ones(N,1)*p0;
126. Bv=ones(N,1)*v0;
127. Ba=ones(N,1)*a0;
128. for i=1:N
129.     Bp(i)=Bp(i)+i*dt*v0+i^2/2*a0*dt^2;
130.     Bv(i)=Bv(i)+i*dt*a0;
131. end
132.
133. function path=getPath(dt,H,R,V,W)
134. T=H/abs(V);
135. t=0:dt:T;
136. r=R/T*t;
137. x=r.*cos(W*t);

```

---

```
138. y=r.*sin(W*t);
139. z=H+t*V;
140. path=[x',y',z'];
141. path=[path;ones(60,3).*[x(end),y(end),z(end)]];
```